

Michael Bauer

Modularisierung des Arbeitsablaufs zur Erstellung ordnungsreduzierter thermischer Modelle von Werkzeugmaschinen

Diplomverteidigung // Dresden, 26.06.2020

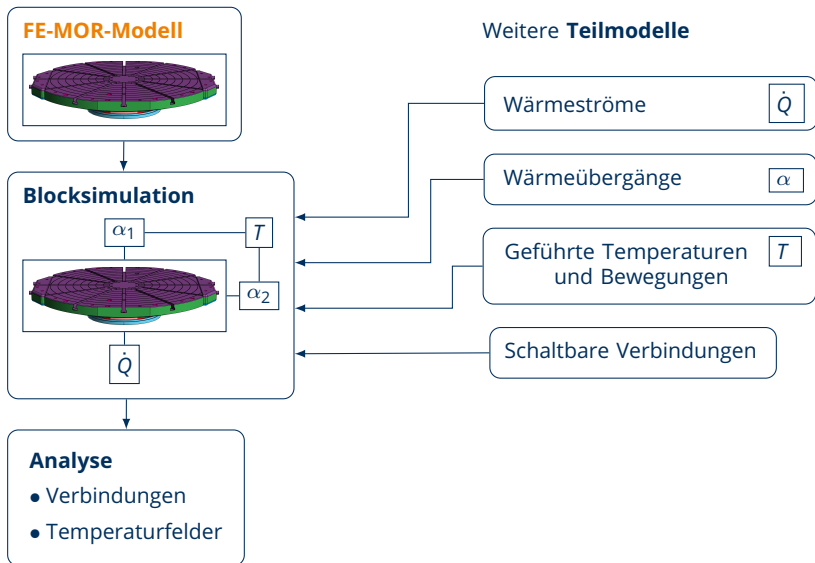
Inhalt

1. Motivation
 - Stand der Technik
 - Zielstellung
2. Modularisierung
3. Werkzeuge
 - Referenzimplementierung
 - Defizite
 - Freie Werkzeuge
4. Implementierung
 - Geometrie
 - FE-Netz
 - FE-MOR-Modell
5. Zusammenfassung und Ausblick

Stand der Technik

- Bearbeitungsungenauigkeit durch thermische Verformung bei Werkzeugmaschinen
- Kompensation oder Korrektur mittels Simulation
- Am LWM wurde Verfahren zur schnellen und realistischen thermischen Simulation von Werkzeugmaschinen entwickelt
- Strukturbaugruppen werden mit FEM und anschließender MOR modelliert
⇒ FE-MOR-Modelle

Simulationsverfahren



Zielstellung

- Modularisierung: austauschbare Werkzeuge und allgemeingültige Schnittstellen
- Arbeitsablauf flexibel, robust und automatisiert
- Erweiterter Anwendungsbereich durch Verwendung freier Software

Modularisierung

Schnittstellen

Module

▷ CAD-Modell

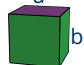


• Geometrie vorbereiten



a

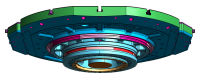
• Koppelflächen definieren



b

• Vorbereitetes CAD-Modell

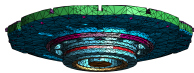
▷ Koppelflächen



• Vernetzen



• Tetraeder-Netz



• FE-Gleichungssystem

FEM

• FE-Modell

▷ Parameter und Art der Eingänge



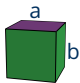
• Zustandsraumdarstellung

• Modellordnungsreduktion

MOR

• FE-MOR-Modell

Referenzimplementierung



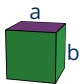
FEM

MOR

Ansys

MATLAB

Referenzimplementierung



FEM

MOR

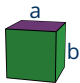
Ansys

MATLAB

Defizite

- Modularisierung
- Geometrieentfeinerung
- Koppelflächenauswahl
- Vernetzen
- Export des FE-Gleichungssystems

Freie Werkzeuge



Ansys

FEM

MOR

MATLAB

FreeCAD

SALOME

Gmsh

Netgen

TetGen

fTetWild

Code_aster

FeniCS

NumPy

SciPy

Python

Schnittstellen

CAD

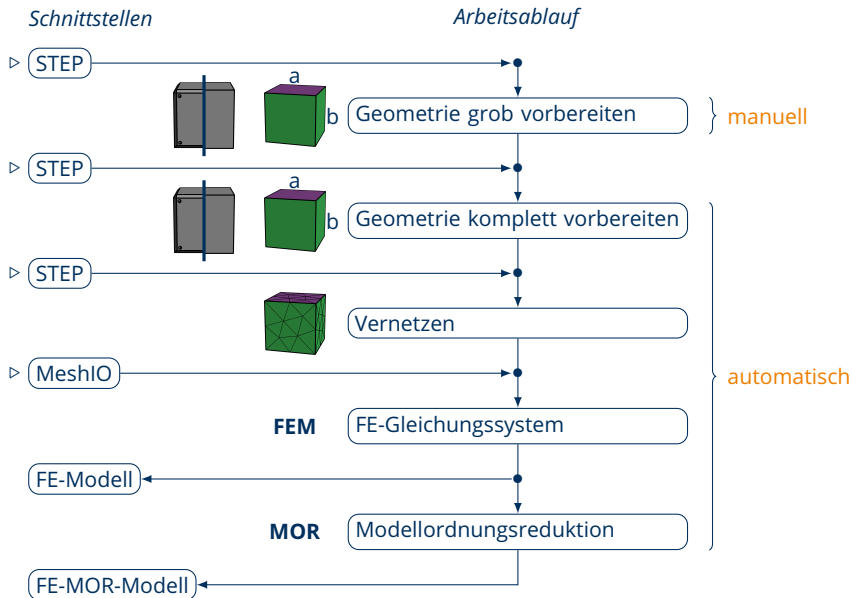
- Zahlreiche, meist proprietäre Formate
- Normiertes, weit verbreitetes **STEP-Format**
- Fehler durch Konvertieren

Netz

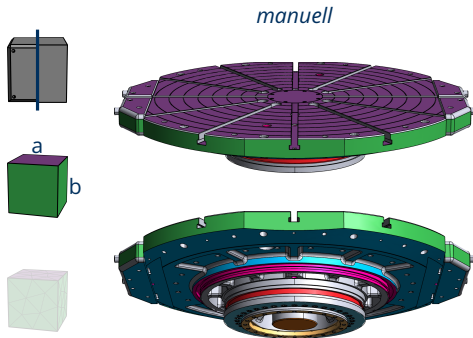
- Zahlreiche, ähnlich aufgebaute Formate
- Kein Standard
- Konvertierer: **MeshIO**

⇒ **Allgemeingültige Schnittstellen**

Implementierung des Arbeitsablaufs



Geometrie vorbereiten



- Abgrenzung der Koppelflächen
⇒ 251 Flächen (5 %)
45 min ⇒ 10 min
- Automatisierte Behandlung der restlichen Flächen
- Zugleich Geometrieentfeinerung
- Automatische Auf teilung der strukturvariablen Koppelflächen

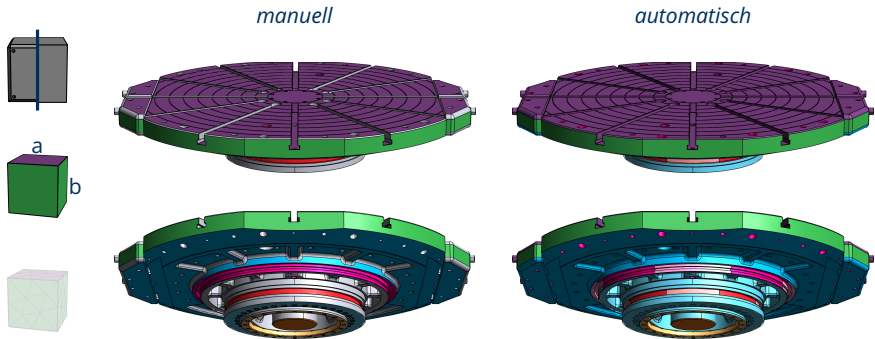
4487 restliche Flächen ⇒ 250 zusammenhängende Flächen ↓ 28 Gruppen

FEM

MOR

Anzahl	Benachbarte Schnittstellen	Verb.	Geschl.	Aktion
1	Oberseite	4	Nein	Oberseite
1	Lager, Dichtung, Bohrung	2, 4, 8	Nein	Innen_Lager
20	Antrieb_Außen	4	Ja	Füllen
...	und 25 weitere			

Geometrie vorbereiten



4487 restliche Flächen \Rightarrow 250 zusammenhängende Flächen \downarrow 28 Gruppen

FEM

MOR

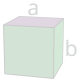
Anzahl	Benachbarte Schnittstellen	Verb.	Geschl.	Aktion
1	Oberseite	4	Nein	Oberseite
1	Lager, Dichtung, Bohrung	2, 4, 8	Nein	Innen_Lager
20	Antrieb_Außen	4	Ja	Füllen
...	und 25 weitere			

FE-Netz



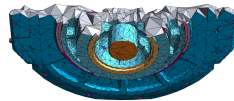
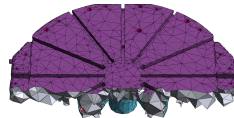
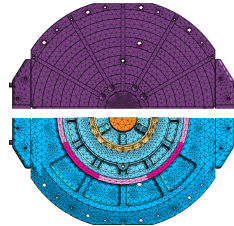
Dreiecks-Netz

- Schnell und robust aus STEP



Tetraeder-Netz

- Innovatives Vorgehen mit fTetWild
- Äußerst robust und qualitativ hochwertiges Netz
- Intuitive Parameter:
Toleranz, Elementgröße und -qualität
- Koppelflächen übertragen mit MapMerge



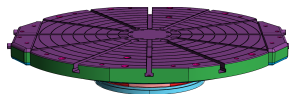
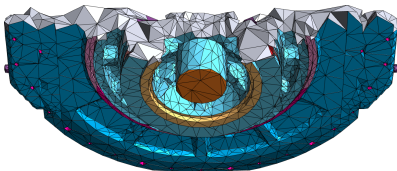
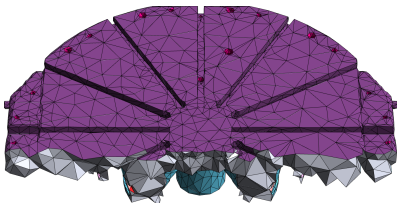
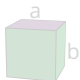
FEM

Vernetzervergleich anhand von 10 000 Geometrien
(Hu et al., 2019)

Vernetzer	Korrekt vernetzt	Zeit
fTetWild	100%	50 s
TetGen	50%	32 s
4 weitere	37% bis 87%	12 s bis 2182 s

MOR

FE-Netz



- 20 744 Tetraeder
- 1 min
- Minimaler Volumenfehler (0,4%)
- Flächeninhaltsfehler

FEM

Koppelfläche

Flächeninhaltsfehler

111 243 Tetraeder

Oberseite

5,0%

4,3%

Unterseite

1,6%

1,0%

Innen_Lager

3,7%

1,9%

Dichtung

4,1%

3,1%

Dichtung aufgeteilt

0,8% bis 6,7%

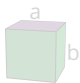
2,4% bis 4%

MOR

FE-MOR-Modell



- Direkt in Python flexibel umgesetzt



FEM

- FeniCS
- Mathematische Notation
- Matrizen und Knotenindizes in Python



Blocksimulation

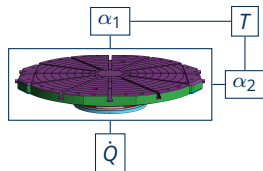
- Python-Simulationsframework
- Alle Pythonfunktionalitäten:
Empirische oder statistische Teilmodelle
- Auch FE-Modell
⇒ Abgleich MOR und Koppelflächen
- Korrektheit der Implementierung anhand
Referenzimplementierung geprüft

FEM

MOR

MOR

- Numpy, SciPy



Zusammenfassung

- Modularisierter Arbeitsablauf mit allgemeingültigen Schnittstellen kann flexibel eingesetzt und weiterentwickelt werden
- Ein manueller Arbeitsschritt, in dem die Koppelflächen definiert werden und zugleich die Geometrie entfeinert wird
- Automatisches Aufteilen der strukturvariablen Koppelflächen
- Robuste und intuitive Netzerstellung, die zudem zuverlässig die Geometrie entfeinert
- Flexibel integrierbare FEM
- Komplett mit freien Werkzeugen umgesetzt

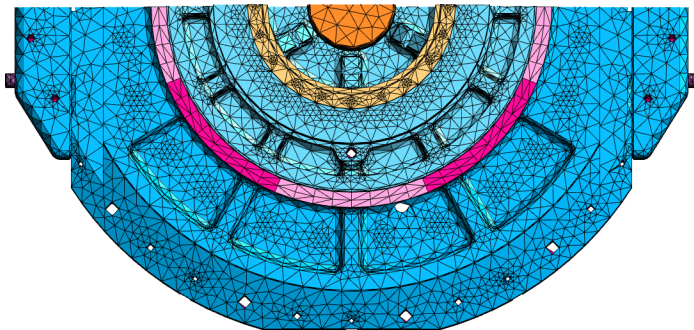
⇒ Ziele wurden erreicht

⇒ Ermöglicht schnelles Iterieren der thermischen Modelle

Ausblick

- Integration in bestehende Werkzeugketten
- Geometrievorbereitung und Netzerstellung breiter anwendbar
- Erweiterung zur thermo-elastischen Simulation
- Abgleich der reduzierten Dimension mit dem FE-Modell

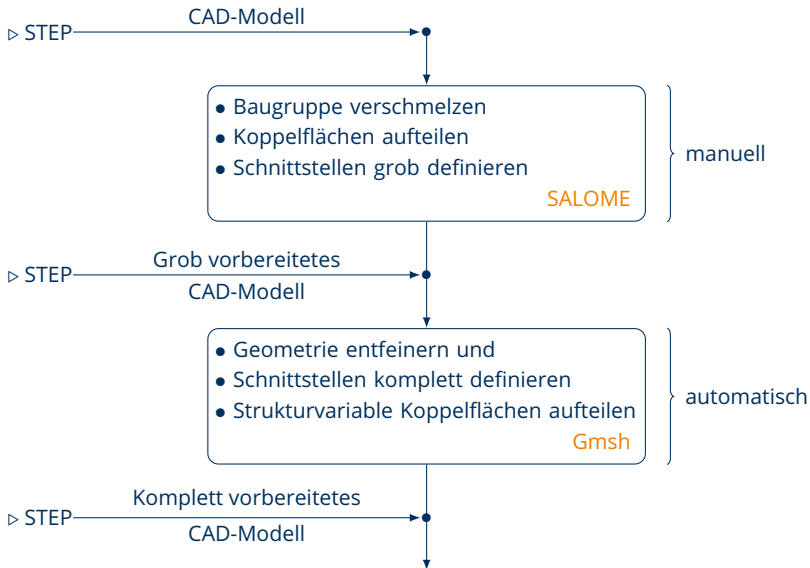
Vielen Dank für Ihre Aufmerksamkeit!



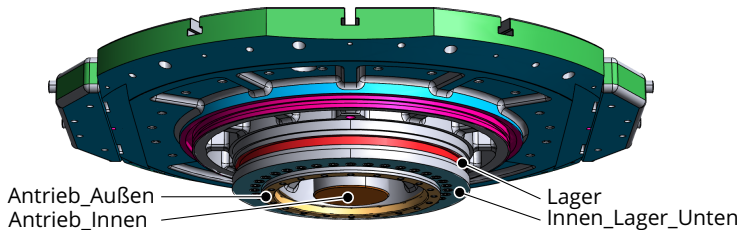
Geometrie vorbereiten

Schnittstellen

Arbeitsablauf

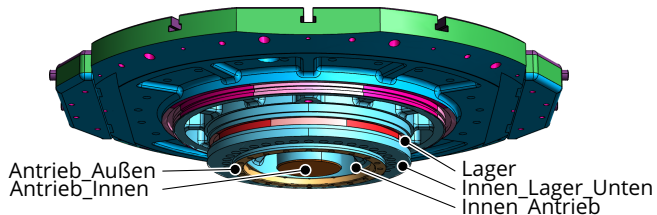


Restliche Flächengruppen



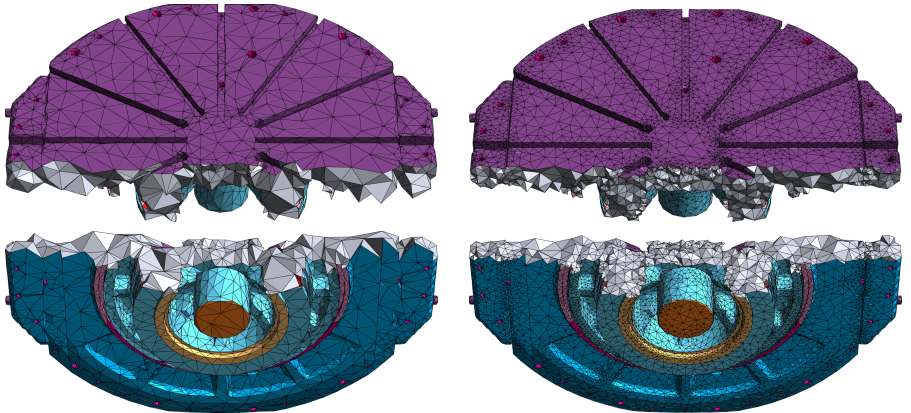
	Anzahl	Benachbarte Schnittstellen	Verb.	Geschl.	Aktion
1	102		0	Ja	Löschen
2	20	Antrieb_Außen	4	Ja	Füllen
3	1	Antrieb_Außen, Antrieb_Innen	4, 2	Ja	Innen_Antrieb
4	1	Antrieb_Außen, Innen_Lager_Unten	4, 4	Ja	Innen_Lager_Unten
5	36	Innen_Lager_Unten	2	Ja	Füllen
	...	und 23 weitere			

Flächenfehler



Schnittstelle	Gmsh 2D	TetWild 3D grob	TetWild 3D fein
Antrieb_Innen	3.3	8.8	3
Antrieb_Außen	0.2	1.7	1.3
Innen_Antrieb	1	2	1.9
Oberseite	0.7	5	4.3
Bohrungen_Durch	10	12.9	11.2
Lager (gesamt)	0.1	2.9	0.4
Lager (aufgeteilt): 1-8	0.1	0 bis 10,8	0,6 bis 5,9
Dichtung (gesamt)	0.1	4.1	3.1
Dichtung (aufgeteilt): 1-8	0.1	0,8 bis 6,7	2,4 bis 4

FE-Netze



FE-Gleichungssystem

$$\mathbf{C}_T = \int_{\Omega} \mathbf{p} \mathbf{v} \, d\Omega \quad (1)$$

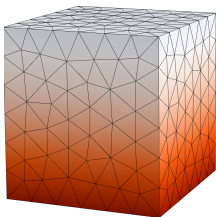
$$\mathbf{K}_{T\lambda} = \int_{\Omega} \nabla \mathbf{p} \nabla \mathbf{v} \, d\Omega \quad (2)$$

$$\mathbf{f}_i = \int_{\Gamma_i} \mathbf{v} \, d\Gamma_i \quad (3)$$

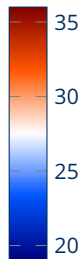
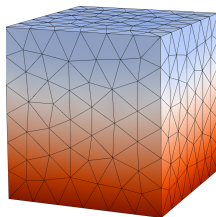
```
1 | V = FunctionSpace(Netz, 'P', 1)
2 | p = TrialFunction(V)
3 | v = TestFunction(V)
4 | UFL_CT = p*v*dx
5 | UFL_KT = dot(grad(p), grad(v))*dx
6 | UFL_f = [ v*ds(i) for i in range(Schnittstellen)]
7 | CT = assemble(UFL_CT)
8 | KT = assemble(UFL_KT)
9 | fi = [ assemble(f) for f in UFL_f]
10 | Knotenindizes = vertex_to_dof_map(V)
```

Blocksimulation: Würfel

FE-Modell



FE-MOR-Modell



Blocksimulation: Verlauf

